

# Controle Digital

SEL620

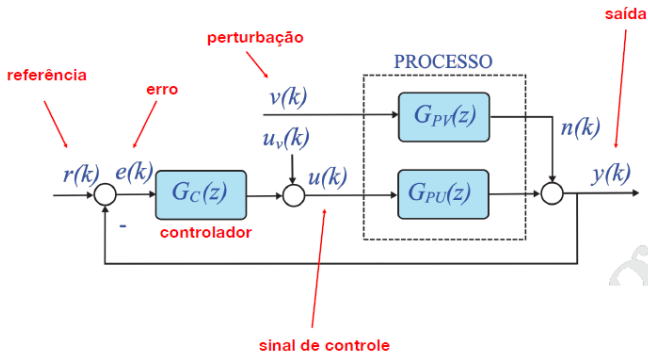
**Prof. Dr. Valdir Grassi Jr**

Escola de Engenharia de São Carlos - EESC/USP

# **Controladores Paramétricos**

## **Capítulo 7**

# Processo SISO realimentado



# Controlador PID

(Seção 7.2)

Integral do erro

Proporcional ao erro

Derivada do erro

$$u(t) = K \left[ e(t) + \frac{1}{T_I} \int e(\tau) d\tau + T_D \frac{d}{dt} e(t) \right]$$
$$G_{PID}(s) = \frac{U(s)}{E(s)} = \frac{(KT_D)s^2 + Ks + (K/T_I)}{s} = \frac{Q(s)}{P(s)}$$
$$G_{PID}(s) = \frac{Q(s)}{P(s)} = \frac{q_0 s^2 + q_1 s + q_2}{s} = \frac{K(s + z_{01})(s + z_{02})}{s}$$

# Controlador PID

$$u(t) = K \left[ e(t) + \frac{1}{T_I} \int e(\tau) d\tau + T_D \frac{d}{dt} e(t) \right].$$

Admitindo-se um tempo de amostragem pequeno pode-se aproximar a integral e derivada por:

$$u(k) = K \left[ e(k) + \underbrace{\frac{T_0}{T_I} \sum_{v=0}^{k-1} e(v)}_{\text{Aproximação da integral}} + \underbrace{\frac{T_D}{T_0} (e(k) - e(k-1))}_{\text{Aproximação da derivada}} \right].$$

# Controlador PID

$$u(k) = K \left[ e(k) + \frac{T_0}{T_I} \sum_{v=0}^{k-1} e(v) + \frac{T_D}{T_0} (e(k) - e(k-1)) \right].$$

É possível escrever na forma recursiva (equação de diferenças):

$$u(k) - u(k-1) = q_0 e(k) + q_1 e(k-1) + q_2 e(k-2),$$

$$q_0 = K \left( 1 + \frac{T_D}{T_0} \right), \quad q_1 = -K \left( 1 + 2 \frac{T_D}{T_0} - \frac{T_0}{T_I} \right),$$

$$q_2 = K \frac{T_D}{T_0}.$$

# Controlador PID

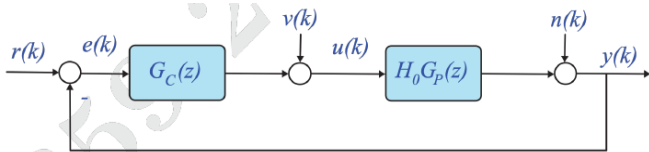
$$u(k) - u(k - 1) = q_0 e(k) + q_1 e(k - 1) + q_2 e(k - 2).$$

Pode-se obter a seguinte função de transferência para o PID discreto:

$$\begin{aligned} G_C(z) = G_{PID}(z) &= \frac{U(z)}{E(z)} = \frac{q_0 + q_1 z^{-1} + q_2 z^{-2}}{1 - z^{-1}} = \frac{Q(z^{-1})}{P(z^{-1})}, \\ &= \frac{q_0 z^2 + q_1 z + q_2}{z^2 - z} = \frac{q_0(z - z_{01})(z - z_{02})}{z^2 - z} = \frac{Q(z)}{P(z)}. \end{aligned}$$

# Controlador paramétrico genérico

(Seção 7.3)



$$H_0 G_P = \frac{Y(z^{-1})}{U(z^{-1})} = \frac{B(z)}{A(z)} = \frac{b_0 + b_1 z^{-1} + b_2 z^{-2} + \dots + b_m z^{-m}}{1 + a_1 z^{-1} + a_2 z^{-2} + \dots + a_m z^{-m}},$$

$$G_C(z) = \frac{U(z)}{E(z)} = \frac{Q(z^{-1})}{P(z^{-1})} = \frac{q_0 + q_1 z^{-1} + q_2 z^{-2} + \dots + q_v z^{-v}}{1 + p_1 z^{-1} + p_2 z^{-2} + \dots + p_\mu z^{-\mu}}.$$



# Controlador paramétrico genérico

Para zerar o erro de regime permanente para uma entrada degrau, o controlador deve ter pelo menos um polo em  $z = 1$  ( $s = 0$ , ação integral).

Portanto, a estrutura mais simples para o controlador genérico de ordem  $v$ :

$$G_C(z) = \frac{Q(z^{-1})}{P(z^{-1})} = \frac{q_0 + q_1 z^{-1} + q_2 z^{-2} + \dots + q_v z^{-v}}{1 - z^{-1}} = \frac{U(z)}{E(z)}$$

A equação de diferenças seria:

$$u(k) = u(k-1) + q_0 e(k) + q_1 e(k-1) + q_2 e(k-2) + \dots + q_v e(k-v).$$

# Controlador paramétrico genérico

$$u(k) = u(k-1) + q_0 e(k) + q_1 e(k-1) + q_2 e(k-2) + \dots + q_v e(k-v).$$

Para  $v=1$  o controlador seria um PI.

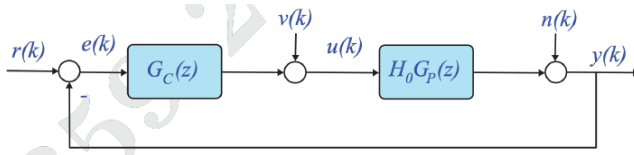
Para  $v=2$  o controlador seria um PID.

Para  $v=3$  o controlador seria um PID2 ou PI2D.

# Controlador paramétrico de segunda ordem

( $v = 2$ )

(Seção 7.4)



$$u(k) = u(k-1) + q_0 e(k) + q_1 e(k-1) + q_2 e(k-2).$$

Suponha que o controlador receba uma entrada degrau:

$$e(k) = \begin{cases} 1, & k \geq 0, \\ 0, & k < 0. \end{cases}$$

# Controlador paramétrico de segunda ordem

$(v = 2)$

$$u(k) = u(k-1) + q_0 e(k) + q_1 e(k-1) + q_2 e(k-2).$$

Retirando-se o controlador da malha fechada e aplicando um degrau unitário na entrada do controlador, a resposta do controlador seria:

$$u(0) = q_0,$$

$$u(1) = u(0) + q_0 + q_1 = 2q_0 + q_1,$$

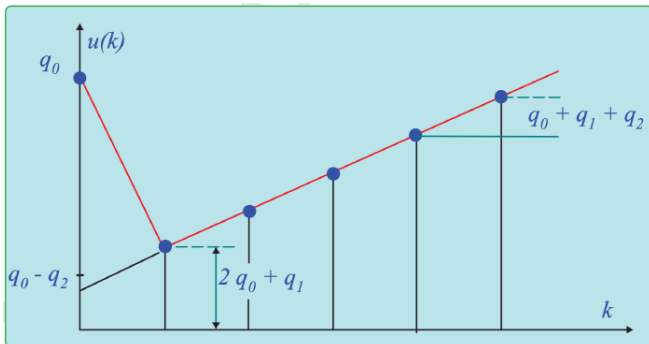
$$u(2) = u(1) + q_0 + q_1 + q_2 = 3q_0 + 2q_1 + q_2,$$

$$\vdots$$

$$u(k) = u(k-1) + q_0 + q_1 + q_2 = (k+1)q_0 + kq_1 + (k-1)q_2.$$

# Controlador paramétrico de segunda ordem ( $v = 2$ )

Resposta esperada de um controlador PID a entrada degrau unitário.



# Controlador paramétrico de segunda ordem

( $v = 2$ )

Espera-se que a resposta seja:

$$u(1) < u(0),$$

$$u(k) > u(k-1) \text{ para valores grandes de } k.$$

Admitindo que  $q_0 > 0$ :

$$u(0) = q_0,$$

$$u(1) = u(0) + q_0 + q_1 = 2q_0 + q_1,$$

$$u(1) < u(0) \implies q_0 + q_1 < 0, \text{ ou } q_1 < -q_0.$$

## Controlador paramétrico de segunda ordem ( $v = 2$ )

Espera-se que a resposta seja:

$$u(1) < u(0),$$

$$u(k) > u(k-1) \text{ para valores grandes de } k.$$

Admitindo que  $q_0 > 0$ :

$$u(k) = u(k-1) + q_0 + q_1 + q_2 = (k+1)q_0 + kq_1 + (k-1)q_2,$$

$$\begin{aligned} u(k) > u(k-1) \Big|_{k \geq 2} &\implies q_0 + q_1 + q_2 \geq 0, \quad \text{ou} \quad q_2 \geq -(q_0 + q_1) \\ &\implies q_0 > q_2. \end{aligned}$$

# Controlador paramétrico de segunda ordem

$(v = 2)$

Portanto, para que um controlador paramétrico de segunda ordem se comporte como um PID, deve-se ter:

$$q_0 > 0,$$

$$q_1 < -q_0,$$

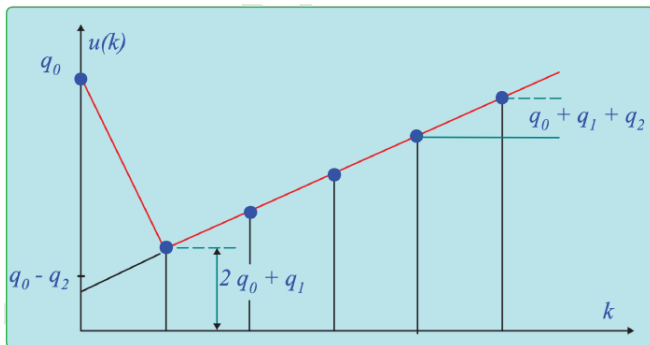
$$-(q_0 + q_1) < q_2 < q_0.$$

Importante notar que  $u(0) = q_0$  , e que  $u(0)$  é a maior resposta do controlador quando em malha fechada submetida a uma entrada da malha do tipo degrau unitário.



# Controlador paramétrico de segunda ordem ( $v = 2$ )

Resposta esperada de um controlador PID a entrada degrau unitário.

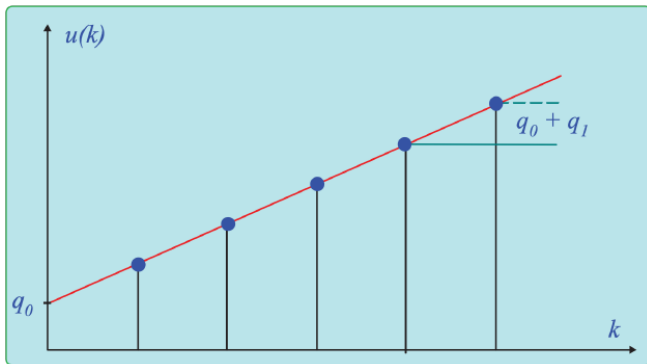


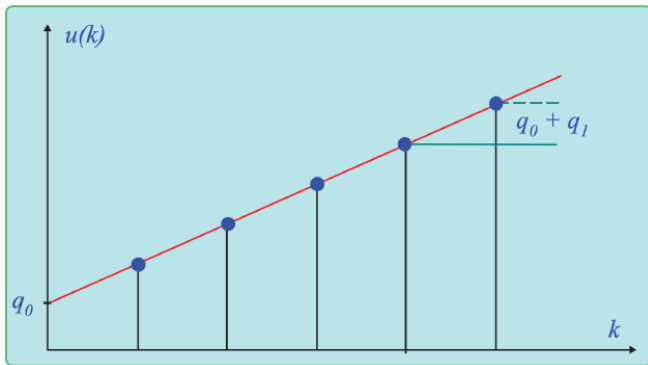
# Controlador paramétrico de primeira ordem

$$(v = 1)$$

(Seção 7.5)

Resposta esperada de um controlador PI a entrada degrau unitário.





Definindo-se:

$$K' = q_0 - q_2, \quad (\text{Fator de Amplificação})$$

$$c_D = \frac{q_0}{K}, \quad (\text{Fator de Derivação})$$

$$c_I = \frac{q_0 + q_1 + q_2}{K}. \quad (\text{Fator de Integração})$$

# Controlador PID

$$u(k) = K \left[ e(k) + \frac{T_0}{T_I} \sum_{v=0}^{k-1} e(v) + \frac{T_D}{T_0} (e(k) - e(k-1)) \right].$$

Para um período suficientemente pequeno:

$$K' = K, \quad K' = q_0 - q_2,$$

$$c_D = \frac{T_D}{T_0}, \quad c_D = \frac{q_0}{K},$$

$$c_I = \frac{T_0}{T_I}, \quad c_I = \frac{q_0 + q_1 + q_2}{K}.$$

De forma que:

$$c_D > 0, \quad c_I > 0, \quad c_I < c_D.$$

# Controlador PID

Substituindo

$$K' = q_0 - q_2, \quad c_D = \frac{q_0}{K}, \quad c_I = \frac{q_0 + q_1 + q_2}{K},$$

no controlador genérico:

$$G_C(z) = \frac{Q(z^{-1})}{P(z^{-1})} = \frac{q_0 + q_1 z^{-1} + q_2 z^{-2} + \dots + q_v z^{-v}}{1 - z^{-1}} = \frac{U(z)}{E(z)},$$

obtém-se:

$$\begin{aligned} G_C(z) &= \frac{K \left[ (1 + c_D) + (c_I - 2c_D - 1)z^{-1} + c_D z^{-2} \right]}{1 - z^{-1}}, \\ &= K \left[ 1 + c_I \left( \frac{z^{-1}}{1 - z^{-1}} \right) + c_D (1 + z^{-1}) \right]. \end{aligned}$$

# Controlador PID

Pode-se obter uma separação dos efeitos de cada termo do PID:

$$u_P(k) = K'e(k),$$

$$u_I(k) = u_I(k-1) + K'c_I e(k-1),$$

$$u_D(k) = K'c_D [e(k) - e(k-1)],$$

$$u(k) = u_P(k) + u_I(k) + u_D(k).$$

# Controlador PID

Ou escrito em função de  $q_0$ ,  $q_1$  e  $q_2$ :

$$u_P(k) = (q_0 - q_2)e(k),$$

$$u_I(k) = u_I(k-1) + (q_0 + q_1 + q_2)e(k-1),$$

$$u_D(k) = q_2[e(k) - e(k-1)].$$

## Controladores:

$$P \quad c_D = 0, \quad c_I = 0,$$

$$I \quad K' = 0, \quad c_D = 0,$$

$$D \quad K' = 0, \quad c_I = 0,$$

$$PI \quad c_D = 0,$$

$$PD \quad c_I = 0.$$



# Síntese de Controladores PID

## Seção 7.6

# Síntese pelo Método de Alocação de Polos

## (Seção 7.6.1)

Equação característica do sistema de malha fechada:

$$1 + G_C(z)H_0G_P(z) = 0,$$

$$H_0G_P = \frac{Y(z^{-1})}{U(z^{-1})} = \frac{B(z)}{A(z)} = \frac{b_0 + b_1z^{-1} + b_2z^{-2} + \dots + b_mz^{-m}}{1 + a_1z^{-1} + a_2z^{-2} + \dots + a_mz^{-m}},$$

$$G_C(z) = \frac{U(z)}{E(z)} = \frac{Q(z^{-1})}{P(z^{-1})} = \frac{q_0 + q_1z^{-1} + q_2z^{-2} + \dots + q_vz^{-v}}{1 + p_1z^{-1} + p_2z^{-2} + \dots + p_\mu z^{-\mu}}.$$

Equação característica do sistema de malha fechada:

$$P(z^{-1})A(z^{-1}) + Q(z^{-1})B(z^{-1}) = 0.$$

# Síntese pelo Método de Alocação de Polos

Equação característica do sistema de malha fechada:

$$P(z^{-1})A(z^{-1}) + Q(z^{-1})B(z^{-1}) = 0.$$

Para um PID:

$$G_C(z) = G_{PID}(z) = \frac{U(z)}{E(z)} = \frac{q_0 + q_1 z^{-1} + q_2 z^{-2}}{1 - z^{-1}} = \frac{Q(z^{-1})}{P(z^{-1})}.$$

A equação característica pode ser escrita como:

$$(1 - z^{-1})(1 + a_1 z^{-1} + a_2 z^{-2} + \dots + a_n z^{-n}) + (q_0 + q_1 z^{-1} + q_2 z^{-2})(b_1 z^{-1} + b_2 z^{-2} + \dots + b_n z^{-n}) = 0.$$

# Síntese pelo Método de Alocação de Polos

$$(1 - z^{-1})(1 + a_1z^{-1} + a_2z^{-2} + \dots + a_nz^{-n}) + (q_0 + q_1z^{-1} + q_2z^{-2})(b_1z^{-1} + b_2z^{-2} + \dots + b_nz^{-n}) = 0.$$

Fazendo a multiplicação dos polinômios:

$$\mathbf{A}(z) = 1 + a_1z^{-1} + a_2z^{-2} + \dots + a_{n+2}z^{-(n+2)} = 0,$$

ou

$$z^{(n+2)} + a_1z^{(n+1)} + a_2z^n + \dots + a_{n+2} = 0,$$

ou

$$(z - z_{a1})(z - z_{a2})(z - z_{a3})(\dots)(z - z_{an+2}) = 0.$$

# Síntese pelo Método de Alocação de Polos

Escolhe-se a dinâmica do processo controlado através da escolha (alocação) dos polos do sistema de malha fechada.

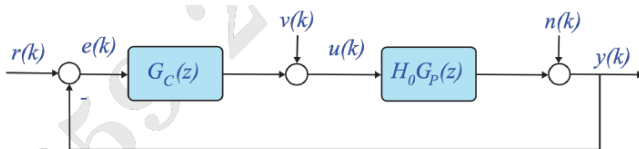
Importante observar que se o processo tiver  $n$  polos (ordem  $n$ ), a equação característica possui  $n + 2$  polos.

$$z^{(n+2)} + a_1 z^{(n+1)} + a_2 z^n + \dots + a_{n+2} = 0,$$

Mas o PID possui 3 parâmetros ( $q_0$ ,  $q_1$  e  $q_2$ ). Portanto, para que o sistema linear tenha uma única solução:  $n + 2 = 3$ , ou seja,  $n = 1$ . Se o PID for modificado para possuir 4 parâmetros (2 polos e 2 zeros), então  $n = 2$ .

# Ação de controle limitada

(Seção 7.6.3)



$$\frac{U(z)}{R(z)} = \frac{G_C(z)}{1 + G_C(z)H_0G_P(z)},$$

$$\frac{U(z^{-1})}{R(z^{-1})} = \frac{Q(z^{-1})A(z^{-1})}{P(z^{-1})A(z^{-1}) + Q(z^{-1})B(z^{-1})}.$$

## Ação de controle limitada

Para  $b_0 = 0$ :

$$\begin{aligned} & \left[ (1 - z^{-1})(1 + a_1 z^{-1} + a_2 z^{-2} + \dots + a_m z^{-m}) + \right. \\ & \left. + (q_0 + q_1 z^{-1} + q_2 z^{-2})(b_1 z^{-1} + b_2 z^{-2} + \dots + b_m z^{-m}) \right] u(z) = \\ & = (q_0 + q_1 z^{-1} + q_2 z^{-2})(1 + a_1 z^{-1} + a_2 z^{-2} + \dots + a_m z^{-m}) r(z). \end{aligned}$$

Ou:

$$\begin{aligned} u(k) = & (1 - a_1)u(k-1) + (a_1 - a_2)u(k-2) + \dots \\ & - q_0 b_1 u(k-1) - (q_0 b_2 + q_1 b_1)u(k-2) + \dots \\ & + q_0 r(k) + (q_0 a_1 + q_1)r(k-1) + (q_0 a_2 + q_1 a_1 + q_2)r(k-2) + \dots \end{aligned}$$

## Ação de controle limitada

$$\begin{aligned}u(k) &= (1 - a_1)u(k - 1) + (a_1 - a_2)u(k - 2) + \dots \\&\quad - q_0b_1u(k - 1) - (q_0b_2 + q_1b_1)u(k - 2) + \dots \\&+ q_0r(k) + (q_0a_1 + q_1)r(k - 1) + (q_0a_2 + q_1a_1 + q_2)r(k - 2) + \dots\end{aligned}$$

As duas primeiras ações de controle são:

$$\begin{aligned}u(0) &= q_0r_0, \\u(1) &= [q_0(2 - q_0b_1) + q_1]r_0.\end{aligned}$$



## Ação de controle limitada

$$u(0) = q_0 r_0,$$

$$u(1) = [q_0(2 - q_0 b_1) + q_1] r_0.$$

Conhecendo a entrada máxima da planta  $u(0)$  e uma variação brusca da amplitude da referência do sistema (degrau unitário) de no máximo  $r_0$ :

$$q_0 = \frac{u(0)}{r_0}.$$

Como o controlador é um PID:  $u(1) < u(0)$ .

Portanto:  $q_1 \leq -q_0(1 - q_0 b_1)$ .

# PID Modificado 1 - Amortecido

## (Seção 7.7.1)

PID com ação derivativa atrasada:

$$G(s) = K \left[ 1 + \frac{1}{T_I s} + \frac{T_D s}{1 + T_I s} \right].$$

Discretização com Holder:

$$\begin{aligned} H_0 G_C(s) &= \frac{z-1}{z} \mathcal{Z} \left\{ \frac{G_C(s)}{s} \right\}, \\ &= K \left[ 1 + \frac{T_0}{T_I} \frac{z^{-1}}{(1-z^{-1})} + \frac{T_D}{T_0} \frac{(1-z^{-1})}{(1-\gamma z^{-1})} \right], \\ &= \frac{q_0 + q_1 z^{-1} + q_2 z^{-2}}{(1-z^{-1})(1-\gamma z^{-1})}, \\ &= \frac{q_0 + q_1 z^{-1} + q_2 z^{-2}}{1 + p_1 z^{-1} + p_2 z^{-2}}. \end{aligned}$$

## Parâmetros do PID modificado 1:

$$q_0 = K \left( 1 + \frac{T_D}{T_I} \right),$$

$$q_1 = -K \left( 1 - \gamma + 2 \frac{T_D}{T_I} - \frac{T_0}{T_I} \right),$$

$$q_2 = K \left( \frac{T_D}{T_I} + \left( \frac{T_0}{T_I} - 1 \right) \gamma \right),$$

$$\gamma = -e^{-T_0/T_I},$$

$$p_1 = \gamma - 1,$$

$$p_2 = -\gamma.$$

# PID Modificado - outras formas

## (Seção 7.7.2)

$$G_C(z) = \frac{U(z)}{E(z)} = \frac{Q(z^{-1})}{P(z^{-1})} = \frac{q_0 + q_1 z^{-1} + q_2 z^{-2} + \dots + q_v z^{-v}}{1 + p_1 z^{-1} + p_2 z^{-2} + \dots + p_\mu z^{-\mu}},$$

$$P(z^{-1})U(z^{-1}) = Q(z^{-1})E(z^{-1}) = Q(z^{-1})[R(z^{-1}) - Y(z^{-1})].$$

PID modificado 2 - Avaliar de forma diferente a referência  $R$ :

$$P(z^{-1})U(z^{-1}) = S(z^{-1})R(z^{-1}) - Q(z^{-1})Y(z^{-1}),$$

$$U(z^{-1}) = \frac{S(z^{-1})}{P(z^{-1})}R(z^{-1}) - \frac{Q(z^{-1})}{P(z^{-1})}Y(z^{-1}).$$

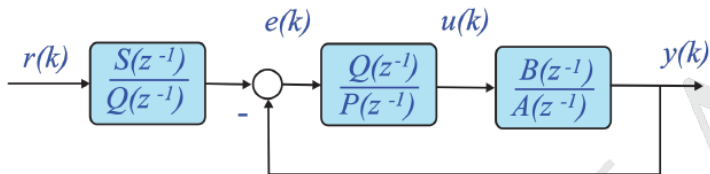
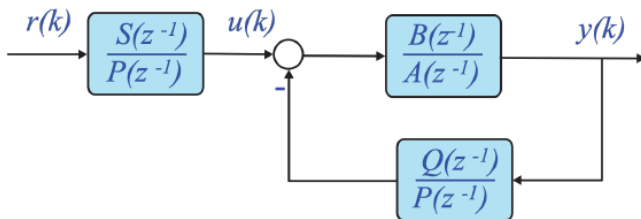
$$P(z^{-1})U(z^{-1}) = S(z^{-1})R(z^{-1}) - Q(z^{-1})Y(z^{-1}),$$

$$U(z^{-1}) = \frac{S(z^{-1})}{P(z^{-1})}R(z^{-1}) - \frac{Q(z^{-1})}{P(z^{-1})}Y(z^{-1}),$$

$$U(z^{-1}) = \frac{Q(z^{-1})}{P(z^{-1})} \left[ \underbrace{\frac{S(z^{-1})}{Q(z^{-1})}R(z^{-1})}_{\uparrow} - Y(z^{-1}) \right].$$

Existe um pré-filtro agindo  
na referência de controle

O filtro não muda os polos originais de malha fechada, mas produz um amortecimento em variações bruscas da referência de controle  $r$ .



PID - convencional:

$$u(k) - u(k - 1) = K \left[ e(k) - e(k - 1) + \frac{T_0}{T_I} e(k - 1) + \right. \\ \left. + \frac{T_D}{T_0} (e(k) - 2e(k - 1) + e(k - 2)) \right].$$

PID - Modificado 2:

$$u(k) - u(k - 1) = K \left[ e(k) - e(k - 1) + \frac{T_0}{T_I} e(k - 1) + \right. \\ \left. + \frac{T_D}{T_0} (y(k) - 2y(k - 1) + y(k - 2)) \right].$$

## PID - Modificado 2:

$$u(k) - u(k-1) = K \left[ e(k) - e(k-1) + \frac{T_0}{T_I} e(k-1) + \right. \\ \left. + \frac{T_D}{T_0} (y(k) - 2y(k-1) + y(k-2)) \right].$$

Para o modificado 2, o pré-filtro agindo na referência de controle equivale a:

$$S(z^{-1}) = s_0 + s_1 z^{-1},$$

$$s_0 = K,$$

$$s_1 = -K \left( 1 - \frac{T_0}{T_I} \right).$$



PID - Modificado 3: para um amortecimento maior da referencia. O erro é utilizado apenas na parte integral.

$$u(k) - u(k - 1) = K \left[ y(k) - y(k - 1) + \frac{T_0}{T_I} e(k - 1) + \frac{T_D}{T_0} (-y(k) + 2y(k - 1) - y(k - 2)) \right].$$

Para o modificado 3, o pré-filtro agindo na referência de controle equivale a:

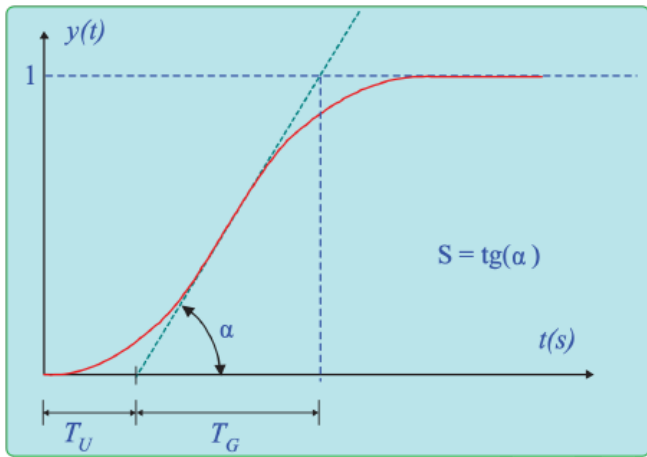
$$S(z^{-1}) = s_1 + 1z^{-1},$$

$$s_1 = K \frac{T_0}{T_I}.$$

# Ajuste de PID com auxílio de tabelas

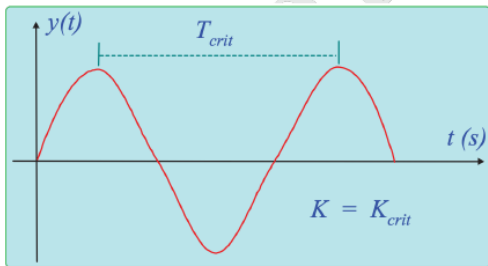
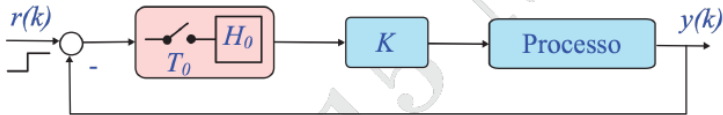
## (Seção 7.7.3)

Ziegler-Nichols 1 - Ensaio resposta transitória.



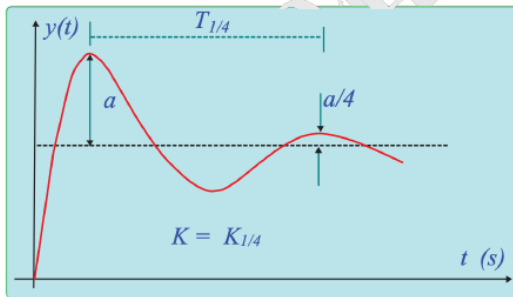
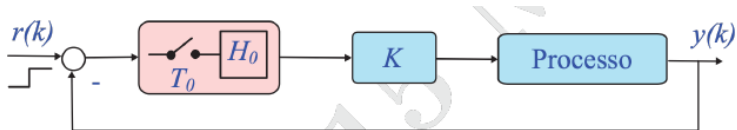
# Ajuste de PID com auxílio de tabelas

Ziegler-Nichols 2 - Oscilação limite.



# Ajuste de PID com auxílio de tabelas

Ziegler-Nichols 3 - Decaimento 1/4.



# Ajuste de PID com auxílio de tabelas

		Parâmetros de PID Contínuo		
		$K_P$	$T_I$	$T_D$
	P	$T_G/T_U$		
Método 1	PI	$0,9T_G/T_U$	$3,33T_U$	
	PID	$1,2T_G/T_U$	$2T_U$	$0,5T_U$
Método 2	P	$0,5K_{crit}$		
	PI	$0,45K_{crit}$	$0,85T_{crit}$	
	PID	$0,6K_{crit}$	$0,5 T_{crit}$	$0,125T_{crit}$
Método 3	P	$K_{1/4}$		
	PI	$0,9K_{1/4}$	$T_{1/4}$	
	PID	$1,2 K_{1/4}$	$T_{1/4}$	$0,25T_{1/4}$

---

$T_0 \approx \left(1/16 \text{ a } 1/8\right)$	$(1/f_{bw})$	$f_{bw} : \text{Banda passante}$
$T_0 \approx \left(1/8 \text{ a } 1/4\right)$	$T_t$	$T_t : \text{Tempo morto}$
$T_0 \approx (0,35 \text{ a } 1,2)$	$T_U$	$0,1 \leq (T_U/T_0) \leq 1$
$T_0 \approx (0,22 \text{ a } 0,35)$	$T_U$	$1 \leq (T_U/T_0) \leq 10$
$T_0 \approx \pi/\omega_{max}$		Teor. Amostragem
$T_0 \approx \left(1/15 \text{ a } 1/6\right)$	$T_{95\%}$	$T_{95\%} : \text{Tempo de subida}$

---

Tabela 7.6: Escolha intervalo de Amostragem